

УДК 546.881.5:546.62:544.015.4

## ФАЗООБРАЗОВАНИЕ В СИСТЕМЕ $V_2O_5$ –AlN

© 2023 г. В. А. Ларинов<sup>1</sup>, \*, Р. И. Гуляева<sup>1</sup>, Е. А. Ницентова<sup>1</sup>

<sup>1</sup>Институт металлургии УрО Российской академии наук, ул. Амундсена, 101, Екатеринбург, 620016 Россия

\*e-mail: larionov.imet@ya.ru

Поступила в редакцию 23.06.2022 г.

После доработки 18.11.2022 г.

Принята к публикации 21.11.2022 г.

Методами химического, рентгенофазового анализов, а также совмещенного термического и массспектрометрического анализов изучены взаимодействия в системе  $V_2O_5$ –AlN. Установлено, что нагрев смесей с молярным отношением AlN :  $V_2O_5 \geq 2.33$  выше 1100°C приводит к образованию в конденсированных продуктах нитридов ванадия:  $V_2N$ ,  $VN_{0.81}$  и VN. Образования твердых растворов алюминия в ванадии либо алюминиев ванадия при нагревании смесей во всем исследуемом интервале температур не выявлено. При химическом взаимодействии  $V_2O_5$  с AlN соблюдается принцип последовательности превращений А.А. Байкова:  $V_2O_5 \rightarrow VO_2 \rightarrow V_4O_7 \rightarrow V_3O_5 \rightarrow V_2O_3 \rightarrow VO \rightarrow V$ .

**Ключевые слова:** оксиды ванадия, нитриды ванадия, нитрид алюминия, фазообразование, рентгенофазовый анализ, термический анализ

**DOI:** 10.31857/S0002337X23010141, **EDN:** OTLEGU

### ВВЕДЕНИЕ

Нитрид алюминия обладает рядом интересных физических свойств. Высокое электросопротивление, коррозионная стойкость к воздействиям воздуха и расплавов металлов при повышенных температурах, стойкость к термоудару делают AlN незаменимым при изготовлении тиглей для разливки некоторых металлов, при изготовлении алюминиевых электролизеров и других видов продукции [1, 2]. Благодаря высокой теплопроводности, высокому объемному сопротивлению и умеренным диэлектрическим свойствам нитрид алюминия находит широкое применение в области электроники (например, для изготовления керамических алюмонитридных диэлектрических теплоотводящих подложек и коммутационных плат для ракетно-космической техники) и в строительной сфере [3–5]. Тем не менее, для изделий из AlN характерны те же проблемы, что и для всех материалов с ковалентным типом связи (твёрдость, хрупкость, дефектность структуры). Их решают путем добавки небольших количеств оксидов редких, редкоземельных и/или щелочноземельных металлов, способствующих лучшему спеканию, повышению плотности, теплопроводности, устранению грубых структурных дефектов в изделиях [6–10].

В качестве реагента-носителя азота нитрид алюминия используют при выплавке азотсодержащих ванадий-алюминиевых лигатур, предназначенных для легирования титана. AlN в шихту

плавки вводят либо в виде самостоятельного реагента [11], либо в составе прекурсора, получаемого азотированием порошков промышленных сплавов V(85–45)–Al методом самораспространяющегося высокотемпературного синтеза (СВС) [12, 13]. Известно [11, 14, 15], что лигатуры V–Al–N–(C) получают внепечным алюминотермическим способом. Реакции восстановления ванадия из его оксидов алюминием являются экзотермическими с выделением количества тепла, достаточного для самопроизвольного протекания процессов восстановления [16]. В работе [17] установлено, что независимо от того, в каком виде азот вводится в шихту для выплавки вышеупомянутых лигатур –  $NaNO_3$ , VN,  $V_2N$ , AlN либо в виде смесей нитридов алюминия и ванадия – непосредственно в самих лигатурах азот всегда присутствует только в виде AlN.

Цель данной работы – изучение фазообразований, происходящих при взаимодействии  $V_2O_5$  с AlN, для совершенствования технологий производства азотсодержащих ванадий-алюминиевых лигатур и для разработки составов и способов получения оксидно-нитридной керамики.

Ранее [18] методами термодинамического моделирования, а также химического и рентгенофазового анализа были изучены взаимодействия, происходящие при нагревании брикетированных смесей  $V_2O_5$  с AlN. Однако полученные в работе

[18] данные потребовали уточнения и экспериментального дополнения.

## ЭКСПЕРИМЕНТАЛЬНАЯ ЧАСТЬ

Для экспериментального изучения взаимодействия в системе  $V_2O_5$ –AlN были приготовлены брикетированные смеси по обычной керамической технологии. Давление прессования – 10 МПа. В качестве исходных компонентов использовали пентаоксид ванадия квалификации “ч.д.а.” производства фирмы Glencore Operations SA PTY Ltd (Южная Африка) и порошок нитрида алюминия марки СВС ТЧ-1 производства ИСМАН РАН (Россия, г. Черноголовка) по ТУ 88-1-200-92 крупностью минус 0.045 мкм с удельной поверхностью 0.5 м<sup>2</sup>/г. Согласно ТУ, в нитриде алюминия содержалось (мас. %): 32.5 N, 0.5 O, 0.11 Fe, 0.02 C, остальное Al.

Процессы, происходящие при взаимодействии  $V_2O_5$  с AlN, изучали двумя методами.

1. Химическим и рентгенофазовым анализами (РФА) продуктов нагревания брикетированных смесей  $V_2O_5$  + AlN. Отношение AlN/ $V_2O_5$  = 0.67–9.0 (моли). Смеси исходных компонентов готовили по обычной керамической технологии. Давление прессования 10.0 МПа. Нагрев брикетов вели в токе гелия в печи СШВЛ-0.62/16-И2 с вольфрамовым нагревателем до температур ≤1600°C с последующей изотермической выдержкой при заданной температуре 0.5–1.0 ч. Скорость нагрева – 7.0–10.0°C/мин.

2. Дифференциальной сканирующей калориметрией (ДСК), термогравиметрическим и масс-спектрометрическим анализами смеси  $V_2O_5$  + AlN на приборе синхронного термического анализа Netzsch STA 449 C Jupiter. Относительная погрешность определения температуры составила ±3°C, а энталпии – ±10%. Определение состава газов, выделяющихся при нагреве смеси, выполнено на сопряженном с термоанализатором квадрупольном масс-спектрометре QMS 403 C Aëlos в режиме заданных массовых чисел. Нагрев образцов до 1300°C и охлаждение до 500°C осуществлено с постоянной скоростью (20°C/мин) в тиглях для ДСК из  $Al_2O_3$  с крышечками, имеющими отверстия. Масса измельченных и спрессованных материалов составляла ≈30.0 мг. Отношение AlN/ $V_2O_5$  задавали равным 1.67 (моли).

О характере фазообразования судили по результатам РФА продуктов взаимодействия, выполненного на автоматизированном дифрактометре ДРОН-2.0 (излучение  $CuK_\alpha$  отфильтрованное, монохроматизированное), оборудованном высокотемпературной приставкой УВД-2000. Высокотемпературную съемку порошкообразного образца с

мольным отношением AlN/ $V_2O_5$  = 7.44 вели в токе гелия при нагреве от комнатной температуры до 1230°C и последующем охлаждении. При расшифровке дифрактограмм пользовались базой данных ICDD PDF2.

Содержание элементов в исходных образцах и конечных продуктах определено методами атомно-абсорбционной (спектрометр SOLAAR M6) и оптической эмиссионной (спектрометр Spectro-Flame Modula S) спектроскопии.

Расчет энергий Гиббса химических реакций выполнен с использованием программного комплекса HSC Chemistry 6.12 [19]. Отсутствующие в базе данных программы значения термохимических характеристик (энタルпию образования  $\Delta H_f^0$ , энтропию  $\Delta S$  и коэффициенты  $A$ ,  $B$  и  $C$  эмпирического уравнения теплоемкости  $c_p$ ) алюминидов ванадия ( $V_5Al_8$ ,  $VAI_3$ ,  $V_3Al_2$ ) заимствованы из работы [20].

## РЕЗУЛЬТАТЫ И ОБСУЖДЕНИЕ

**Изучение взаимодействия  $V_2O_5$  и AlN методом спекания брикетированных смесей.** Результаты экспериментального изучения фазообразования при нагреве брикетированных смесей  $xV_2O_5$  +  $yAlN$  представлены в табл. 1 и на рис. 1–3. Согласно данным табл. 1, в области температур 1200–1600°C взаимодействие между  $V_2O_5$  и AlN приводит к образованию нитридов ванадия  $V_2N$ ,  $VN_{0.81}$  и  $VN$ . Конденсированная фаза также представлена оксидами ванадия и алюминия.

Соотношение реагентов в смеси и температура экспериментов закономерно отражаются на фазовом составе продуктов взаимодействия  $V_2O_5$  и нитрида алюминия. Из табл. 1 и рис. 1–3 видно, что при увеличении AlN/ $V_2O_5$  от 0.67 до 9.0 (моли) степень окисления ванадия изменяется от  $VO_2$  до  $V_2O_3$ .

В продуктах взаимодействия смесей с AlN/ $V_2O_5$  ≥ 2.33 после нагрева до температур выше 1100°C обнаружена фаза ванадата алюминия  $AlV_2O_4$  [21], причем ее количество прямо пропорционально количеству AlN в исходных смесях. Образование шпинели такого состава подтверждается в работах [22, 23], в которых ее специально синтезировали путем спекания смесей  $V_2O_3$  +  $V_2O_5$  + Al в кварцевых ампулах в вакууме при  $t = 1100^\circ\text{C}$ . Ванадат алюминия можно представить в виде смеси  $Al_2O_3$  +  $V_2O_3$  + 2VO. Следовательно, в согласии с данными [24] соблюдается принцип последовательности превращений А.А. Байкова:  $V_2O_5 \rightarrow VO_2 \rightarrow V_4O_7 \rightarrow V_3O_5 \rightarrow V_2O_3 \rightarrow VO$ . Дальнейшее увеличение температуры выше 1100°C, согласно результатам РФА, приводит к восстанов-

**Таблица 1.** Фазовый состав продуктов взаимодействия  $V_2O_5$  с AlN

Мольное отношение AlN/ $V_2O_5$ в шихте	Фазовый состав после нагрева и изотермической выдержки при			
	1000°C	1100°C	1200°C	1600°C
9.00	AlN, $V_2O_3$ , $Al_2O_3$ (мало)	AlN, $AlV_2O_4$ , $Al_2O_3$ , $V_2O_3$ (мало)	AlN, VN, $Al_2O_3$	AlN, $VN_{0.81}$ , $V_2N$ , $Al_2O_3$
7.44	AlN, $V_2O_3$ , $Al_2O_3$ (мало)	AlN, $AlV_2O_4$ , $V_2O_3$ , $Al_2O_3$	AlN, $VN_{0.81}$ , $Al_2O_3$	AlN, $Al_2O_3$ , $VN^*$
5.66	AlN, $V_2O_3$ , $Al_2O_3$ (мало)	AlN, $AlV_2O_4$ , $V_2O_3$ , $Al_2O_3$	VN, AlN, $Al_2O_3$ , $V_2N$ (мало)	$VN_{0.81}$ , $V_2N$ , $Al_2O_3$ , AlN
4.00	AlN, $V_2O_3$ , $Al_2O_3$ (мало)	AlN, $V_2O_3$ , $AlV_2O_4$ , $Al_2O_3$	VN, $Al_2O_3$ , AlN, $V_2N$ , $AlV_2O_4$ (мало), $V_2O_3$ (мало)	$V_2N$ , $VN_{0.81}$ , $Al_2O_3$ , AlN
3.33	AlN, $V_2O_3$ , $Al_2O_3$ (мало)	AlN, $V_2O_3$ , $AlV_2O_4$ , $Al_2O_3$	$VN_{0.81}$ , $Al_2O_3$ , $V_2N$ (мало), $AlV_2O_4$ (мало)	VN, $Al_2O_3^*$
2.33	$V_2O_3$ , AlN, $Al_2O_3$ , $VO_2$ (мало)	$V_2O_3$ , AlN, $AlV_2O_4$ , $Al_2O_3$	$AlV_2O_4$ , $Al_2O_3$ , $V_2N$ , $V_2O_3$	$AlV_2O_4$ , $V_2N$ , $Al_2O_3$ , $VN_{0.81}$
1.22	$Al_2O_3$ , $V_4O_7$ , $V_3O_5$ , $VO_2$ , AlN	$V_3O_5$ , $Al_2O_3$ , $VO_2$ , AlN	$V_2O_3$ , $V_3O_5$ , $Al_2O_3$ , $VO_2$ , AlN	$V_2O_3$ , $Al_2O_3$ , AlN
0.67	$VO_2$ , $Al_2O_3$ , AlN (мало)	$VO_2$ , $Al_2O_3$ , AlN (мало)	$VO_2$ , $Al_2O_3$ , AlN (мало)	$V_2O_3$ , $Al_2O_3$ , AlN (мало)

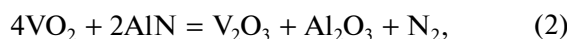
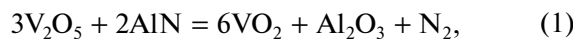
\* При  $t = 1500^\circ\text{C}$ .

**Таблица 2.** Изменение содержания азота в продуктах взаимодействия  $V_2O_5$  с AlN

Мольное отношение AlN/ $V_2O_5$	Убыль массы $\Delta m$ (%) и содержание азота $C_N$ (мас. %) после выдержки при					
	1000°C		1200°C		1500°C	
	$\Delta m$	$C_N$	$\Delta m$	$C_N$	$\Delta m$	$C_N$
7.44	3.4	14.2	5.4	12.6	6.0	9.5
3.33	4.4	7.8	9.5	7.4	9.7	5.3

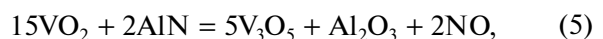
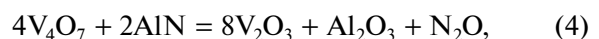
лению ванадия из ванадата алюминия и образованию нитридов ванадия.

Результаты химического анализа на содержание азота в конденсированных продуктах взаимодействия  $V_2O_5$  с AlN и контроля убыли массы смесей при нагревании (табл. 2) показывают, что наряду с реакциями



для которых (Дж)  $\Delta G_{(1)} = -640826 - 206.96T(298 - 998 \text{ K})$ ,  $\Delta G_{(1)} = -378451 - 259.38T(1798 - 2773 \text{ K})$ ;  $\Delta G_{(2)} = -446303 - 96.38T(298 - 1798 \text{ K})$ ,  $\Delta G_{(2)} = -832651 + 118.25T(1898 - 2198 \text{ K})$ ,  $\Delta G_{(2)} = -348916 - 97.11T(2298 - 2773 \text{ K})$ , при высоких температурах протекает взаимодействие низших оксидов

ванадия с AlN, сопровождающееся образованием и выделением в газовую фазу оксидов азота, например, по реакциям

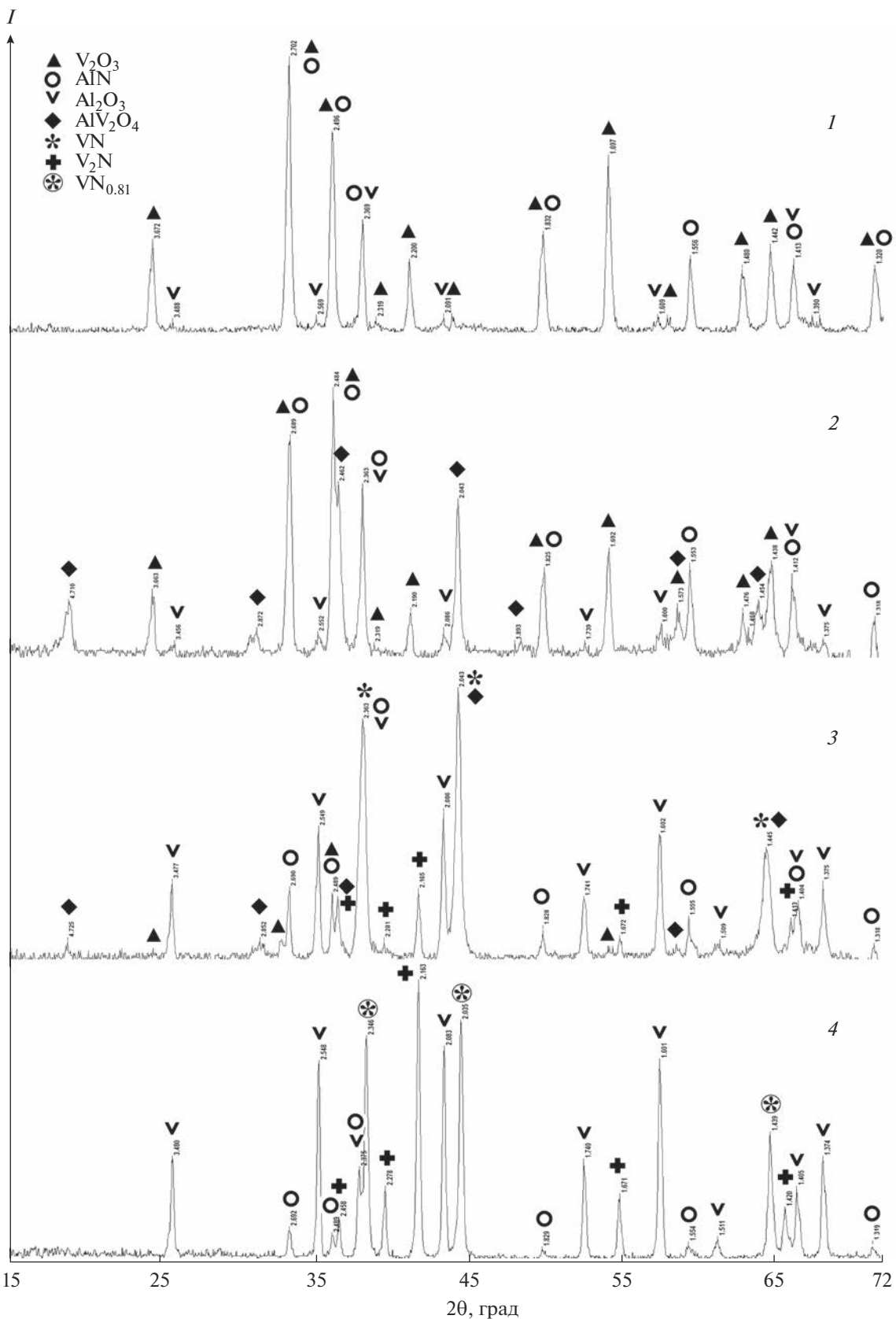


для которых (Дж)  $\Delta G_{(4)} = -135250 - 177.23T(298 - 2198 \text{ K})$ ,  $\Delta G_{(4)} = 1036093 - 698.40T(2298 - 2773 \text{ K})$ ;  $\Delta G_{(5)} = 258112 - 499.31T(298 - 2773 \text{ K})$ .

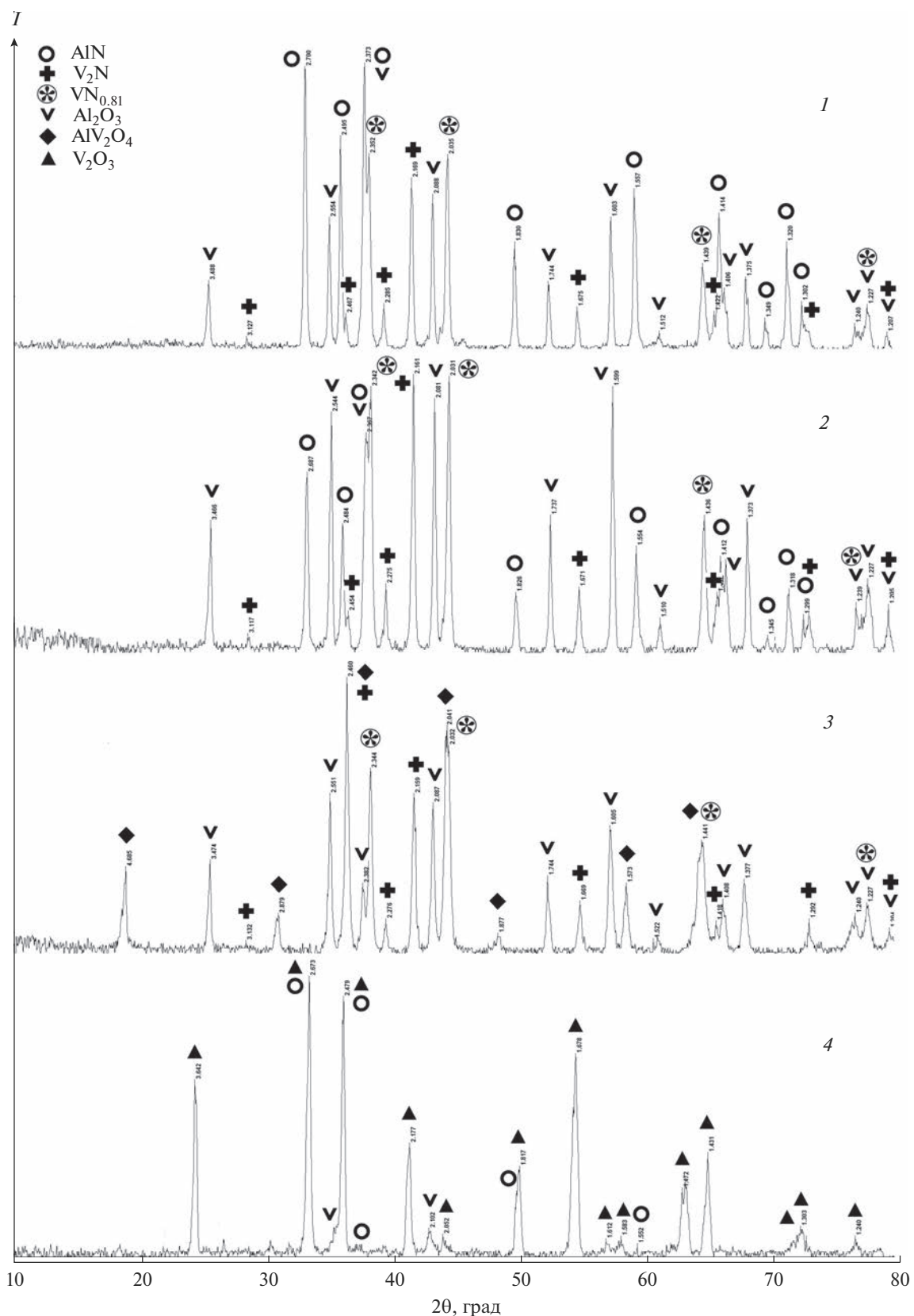
Следовательно, шпинель  $AlV_2O_4$  может образовываться в результате протекания реакций с участием NO и  $N_2O$ , например:



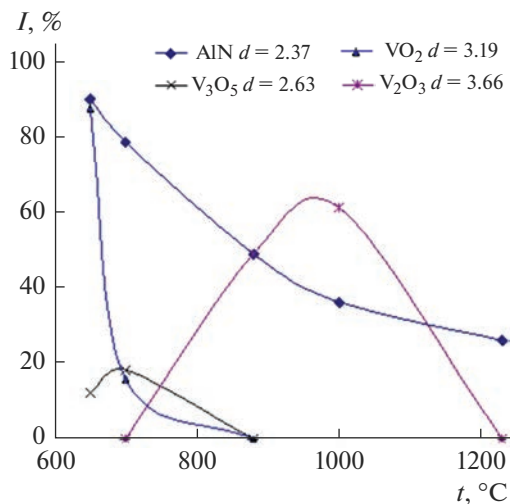
Следует отметить, что ранее [18] фаза с дифракционными максимумами  $d/n$ , равными ( $\text{\AA}$ ):



**Рис. 1.** Дифрактограммы продуктов взаимодействия  $V_2O_5$  с AlN после нагрева и изотермической выдержки образцов с соотношением  $AlN/V_2O_5 = 4.00$  при 1000 (1), 1100 (2), 1200 (3), 1600°C (4).



**Рис. 2.** Дифрактограммы продуктов взаимодействия  $V_2O_5$  с AlN после нагрева и изотермической выдержки при  $t = 1600^\circ\text{C}$  образцов с соотношением AlN/ $V_2O_5$ , равным 9.00 (1), 5.66 (2), 2.33 (3), 0.67 (4).



**Рис. 3.** Изменение интенсивности рефлексов фаз, формирующихся в результате взаимодействия V<sub>2</sub>O<sub>5</sub> и AlN при нагреве в гелии в высокотемпературной рентгеновской приставке (AlN/V<sub>2</sub>O<sub>5</sub> = 7.44).

2.031–2.049, 2.345–2.366, 1.436–1.449, 1.225–1.235, определялась нами как оксид ванадия VO [25]. Исследуя в дальнейшем фазообразование в тройной системе V<sub>2</sub>O<sub>5</sub>–Al–AlN, мы пришли к выводу, что в данном случае фазами с такими линиями являются VN<sub>0.81</sub> ( $d/n = 2.029, 2.342, 1.434, 1.223, \text{\AA}$ ) [26] или VN ( $d/n = 2.045, 2.361, 1.446, 1.233, \text{\AA}$ ) [27]. Возможность их образования согласуется с диаграммой состояния V–N [28].

Таким образом, методом РФА установлено, что взаимодействие пентаоксида ванадия с нитридом алюминия при  $t > 1100^\circ\text{C}$  приводит к образованию в продуктах взаимодействия нитридов V<sub>2</sub>N, VN<sub>0.81</sub> и VN. Формирования твердых растворов алюминия в ванадии либо алюминидов ванадия не происходит.

**Изучение взаимодействия V<sub>2</sub>O<sub>5</sub> и AlN методами термического и масс-спектрометрического анализов.** Термический анализ исходных компонентов показал, что AlN при нагреве со скоростью 20.0°C/мин до 1300°C в потоке аргона практически не претерпевает превращений (рис. 4). Незначительное повышение массы с 900°C, достигающее 1.28% (от исходной массы), обусловлено, вероятно, окислением примесей (Al, Fe и пр.) следовыми содержаниями кислорода в аргоне. На ДСК-кривой пентаоксида ванадия выявлен эндотермический эффект с началом и максимумом при 664 и 675°C, вызванный его плавлением (рис. 5). Оценка теплоты плавления V<sub>2</sub>O<sub>5</sub> (65.19 кДж/моль, что близко табличным значениям [29]) подтвердила хорошее качество используемого реактива. Убыль массы образца V<sub>2</sub>O<sub>5</sub> при нагреве до температуры 1200°C составила 2.34%.

Результат определения термических эффектов и изменения массы образца при взаимодействии пентаоксида ванадия с нитридом алюминия представлен на рис. 6, а дифрактограмма продуктов взаимодействия смеси после нагрева – на рис. 7. Судя по рис. 6, взаимодействие V<sub>2</sub>O<sub>5</sub> с нитридом алюминия начинается при температуре, близкой к температуре плавления V<sub>2</sub>O<sub>5</sub>, и сопровождается ступенчатой убылью массы, достигающей 4.92% при 1300°C. На кривой ДСК при этом выявлены экзотермические эффекты: первый, совмещенный, с началом при 655°C и двумя максимумами при 657 и 713°C, второй – с началом при 857°C и максимумом при 998°C. Дальнейший нагрев сопровождается появлением слабого растянутого экзотермического эффекта, указывающего на незавершенность процесса взаимодействия. Масс-спектрометрический анализ образующихся газов выявил (рис. 6) периодическое, синхронное по температуре с максимумами на линии ДСК выделение азота (максимумы при 656, 710, 998 и 1250°C), а также выделение N<sub>2</sub>O – активное в интервале 500–700°C и постоянное при дальнейшем нагреве до 1300°C. Значительное количество ионов с массовым числом 30 а.е.м., характерным для масс-спектров оксидов азота (N<sub>2</sub>O, NO<sub>2</sub>, NO и др.), наблюдается при нагреве смеси V<sub>2</sub>O<sub>5</sub> и AlN в области температур 250–850°C.

Согласно результатам РФА, основными продуктами взаимодействия смеси с отношением исходных компонентов AlN/V<sub>2</sub>O<sub>5</sub> = 1.67 (моли) после непрерывного нагрева до 1300°C являются V<sub>2</sub>O<sub>3</sub>, AlV<sub>2</sub>O<sub>4</sub>, Al<sub>2</sub>O<sub>3</sub> и непрореагировавший AlN (рис. 7). Эти результаты хорошо согласуются с результатами РФА, полученными при изучении фазообразова-

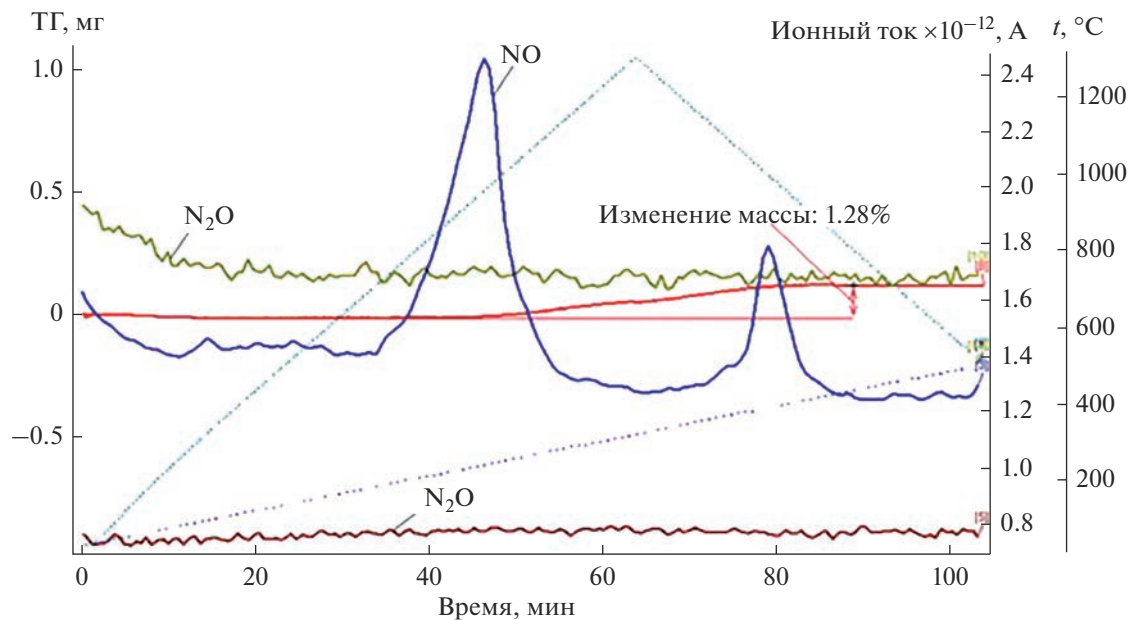


Рис. 4. Масс-спектрометрические и термогравиметрические данные при нагреве AlN.

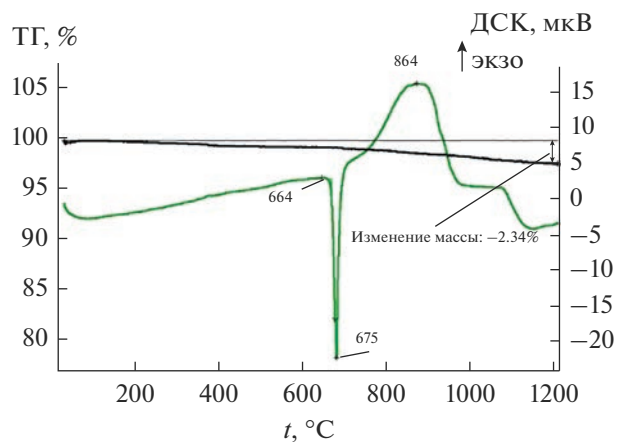


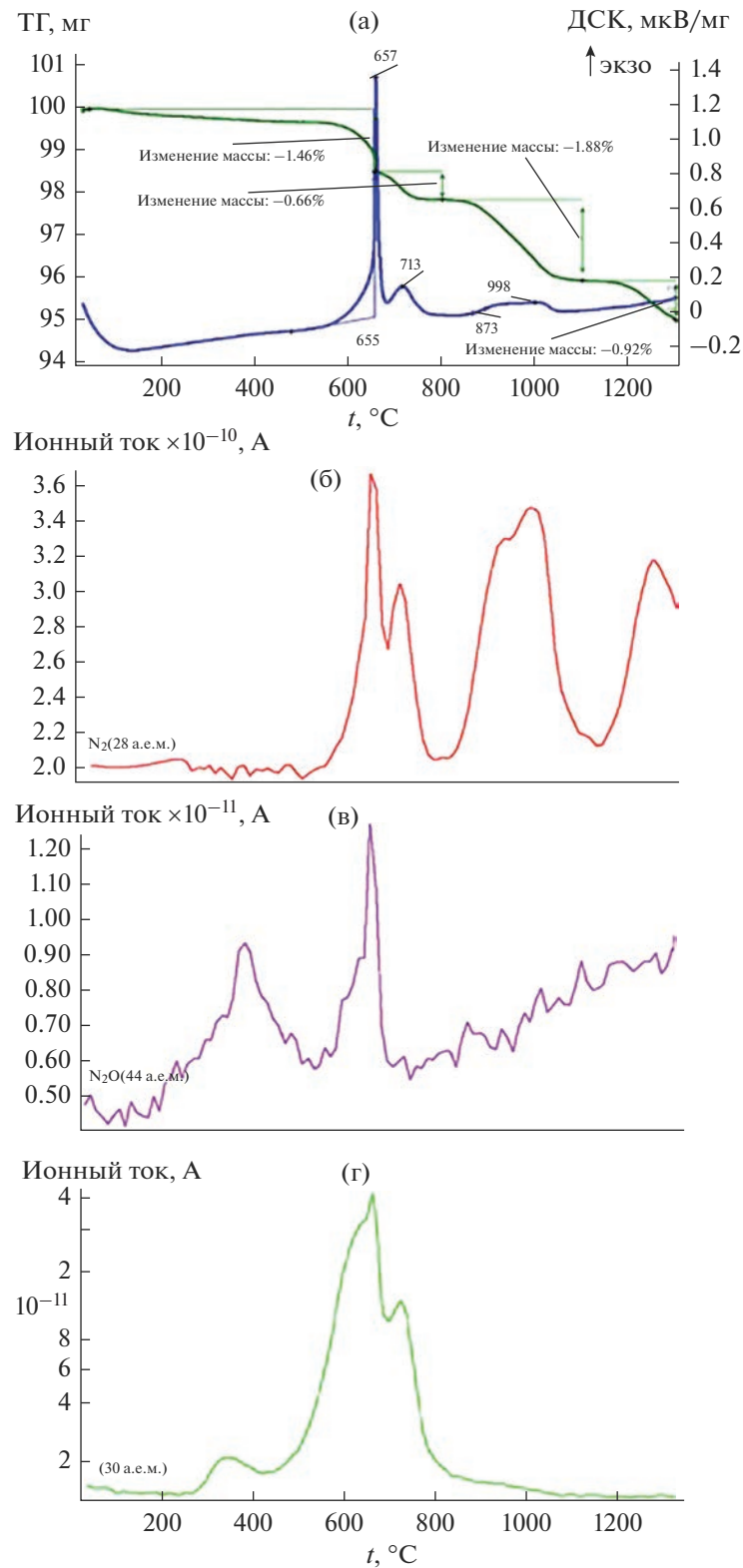
Рис. 5. Изменение массы (ТГ) и теплового потока (ДСК) при нагреве V<sub>2</sub>O<sub>5</sub>.

ния между V<sub>2</sub>O<sub>5</sub> и AlN методом спекания брикетированных смесей в вакуумной печи (табл. 1).

Таким образом, можно сделать вывод, что термоэффекты при 713 и 998°C на кривой ДСК (рис. 6) соответствуют образованию низших оксидов ванадия, а слабый растянутый экзотермический эффект при  $t > 1040^\circ\text{C}$  – образованию шпинели AlV<sub>2</sub>O<sub>4</sub>. Масс-спектрометрический анализ отходящих газов подтверждает сделанное ранее предположение о том, что ванадат алюминия AlV<sub>2</sub>O<sub>4</sub> может образовываться в результате протекания реакций с участием NO и N<sub>2</sub>O.

Тестирование нитрида алюминия показало, что при его нагревании также происходит выделение NO (рис. 4). Однако температура начала выделения NO несколько ниже, чем термического эффекта, зафиксированного при нагревании смеси V<sub>2</sub>O<sub>5</sub> + AlN. Это обстоятельство может указывать на то, что вначале идет разрушение оксонитрида Al<sub>x</sub>N<sub>y</sub>O<sub>z</sub>, присутствующего, вероятно, в нитриде, и лишь затем получают развитие реакции, протекающие с образованием N<sub>2</sub>, N<sub>2</sub>O, NO.

Таким образом, результаты термического и масс-спектрометрического изучения взаимодей-



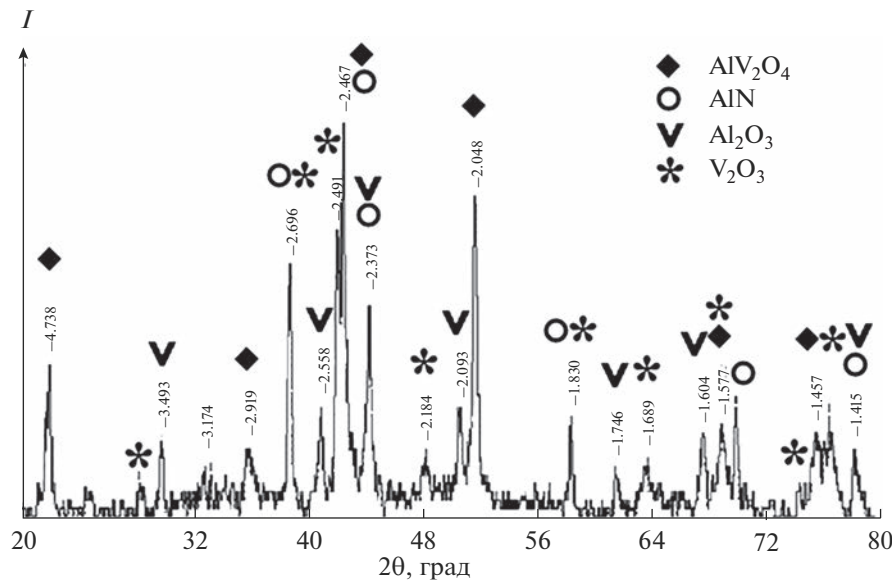


Рис. 7. Дифрактограмма продуктов взаимодействия  $V_2O_5$  с AlN после термического анализа ( $AlN/V_2O_5 = 1.67$ ).

ствия  $V_2O_5$  с AlN при нагреве до температуры 1300°C указывают на частичное образование и выделение в газовую фазу азота и его оксидов, что подтверждает данные, полученные ранее при изучении взаимодействия  $V_2O_5$  с AlN методом спекания.

## ЗАКЛЮЧЕНИЕ

Методами РФА, химического анализа, а также совмещенного термического и масс-спектрометрического анализов изучено взаимодействие в системе  $V_2O_5$ –AlN при молярных отношениях  $AlN/V_2O_5 = 0.67$ –9.00. Установлено, что нагрев смеси  $V_2O_5 + AlN$  с молярным отношением  $AlN/V_2O_5 \geq 2.33$  выше 1100°C приводит к образованию в конденсированных продуктах взаимодействия нитридов ванадия:  $V_2N$ ,  $VN_{0.81}$  и  $VN$ . При нагревании смесей соблюдается принцип последовательности превращений А.А. Байкова:  $V_2O_5 \rightarrow VO_2 \rightarrow V_4O_7 \rightarrow V_3O_5 \rightarrow V_2O_3 \rightarrow VO \rightarrow V$ .

При взаимодействии  $V_2O_5$  с AlN на начальной стадии протекает восстановление ванадия из  $V_2O_5$  до  $V_2O_3$  с выделением в газовую фазу азота,  $N_2O$  и  $NO$ . Последующее взаимодействие  $V_2O_3$  с оксидами азота приводит к образованию шпинели  $AlV_2O_4$ . Дальнейшая реакция ванадата алюминия с AlN приводит к образованию нитридов ванадия.

Образование твердых растворов алюминия в ванадии или алюминидов ванадия в конденсированных продуктах взаимодействия  $V_2O_5$  с AlN при различном соотношении исходных компонентов

во всем исследованном интервале температур не установлено.

## ФИНАНСИРОВАНИЕ РАБОТЫ

Работа выполнена по Государственному заданию ИМЕТ УрО РАН (№ госрегистрации темы: 12202010404-2) с использованием оборудования ЦКП “Урал-М”.

## СПИСОК ЛИТЕРАТУРЫ

1. Косолапова Т.Я. Тугоплавкие нитриды. Киев: Наук. думка, 1983. 174 с.
2. Самсонов Г.В. Неметаллические нитриды. М.: Металлургия, 1969. 264 с.
3. Virkar A.V., Jackson T.B., Cutler R.A. Thermodynamic and Kinetic Effects of Oxygen Removal on the Thermal Conductivity of Aluminum Nitride // J. Am. Ceram. Soc. 1989. V. 72. № 11. P. 2031–2042. <https://doi.org/10.1111/j.1151-2916.1989.tb06027.x>
4. Никитушкин И.В., Сивков А.А., Иватушенко А.С. Плазмодинамический синтез ультрадисперсного нитрида алюминия и получение AlN-керамики методом искрового плазменного спекания // Решетневские чтения. 2017. № 21-1. С. 156–157.
5. Савченко Е.М., Чупрунов А.Г., Сидоров В.А., Биларус И.А. Алюмонитридная керамика в коммутационных платах силовой электроники // Электрон. техника. Сер. 2: Полупроводниковые приборы. 2019. № 4 (255). С. 43. <https://doi.org/10.36845/2073-8250-2019-255-4-43-54>
6. Cannard P., Ekström T., Tilley R.J.D. The Reaction of AlN with Some Metal Oxides at High Temperatures // J. Eur. Ceram. Soc. 1992. V. 9. № 1. P. 53–60. [https://doi.org/10.1016/0955-2219\(92\)90077-Q](https://doi.org/10.1016/0955-2219(92)90077-Q)

7. Toy C., Savrun E. Novel Composites in the Aluminum Nitride-Zirconia and—Hafnia Systems // J. Eur. Ceram. Soc. 1998. V. 18. № 1. P. 23–29.  
[https://doi.org/10.1016/S0955-2219\(97\)00104-0](https://doi.org/10.1016/S0955-2219(97)00104-0)
8. Qiao L., Zhou H., Xue H., Wang S. Effect of  $Y_2O_3$  on Low Temperature Sintering and Thermal Conductivity of AlN Ceramics // J. Eur. Ceram. Soc. 2003. V. 23. № 1. P. 61–67.  
[https://doi.org/10.1016/S0955-2219\(02\)00079-1](https://doi.org/10.1016/S0955-2219(02)00079-1)
9. Fabrichnaya O., Pavlyuchkov D., Neher R., Herrmann M., Seifert H.J. Liquid Phase Formation in the System  $Al_2O_3$ — $Y_2O_3$ —AlN: Part II. Thermodynamic Assessment // J. Eur. Ceram. Soc. 2013. T. 33. № 13–14. P. 2457–2463.  
<https://doi.org/10.1016/j.jeurceramsoc.2013.05.004>
10. González J.C., Rodríguez M.Á., Figueroa I.A., Villa-fuerte-Castrejón M.-E., Díaz G.C. Development of AlN and  $TiB_2$  Composites with  $Nb_2O_5$ ,  $Y_2O_3$  and  $ZrO_2$  as Sintering Aids // Materials. 2017. V. 10. № 3. P. 324.  
<https://doi.org/10.3390/ma10030324>
11. Рылов А.Н., Райков А.Ю., Мартынов А.В., Чумарев В.М., Ларионов А.В., Сельменских Н.И. Использование нитрида алюминия при выплавке лигатуры V—Al—N // Металлы. 2013. № 4. С. 3–7.
12. Закоржевский В.В., Боровинская И.П., Дубровский А.Я., Зелянский А.В., Паздников И.П., Чумарев В.М. Способ получения азотсодержащего материала на основе нитридов металлов для лигатур титановых сплавов и азотсодержащий материал для лигатур титановых сплавов: Пат. 2422246. РФ БИ № 18.
13. Закоржевский В.В., Ковалев И.Д., Дубровский А.Я. Самораспространяющийся высокотемпературный синтез азотсодержащего материала на основе нитридов алюминия и ванадия для получения лигатур титановых сплавов // Новые огнеупоры. 2018. № 8. С. 49–52.  
<https://doi.org/10.17073/1683-4518-2018-8-49-52>
14. Чумарев В.М., Ларионов А.В., Сельменских Н.И., Панкратов А.А., Дубровский А.Я., Рылов А.Н., Райков А.Ю. Структура и фазовый состав лигатуры V—Al—N // Металлы. 2012. № 6. С. 9–15.
15. Tarantov D.V., Larionov A.V., Chumarev V.M., Smirnov L.A., Trubachev M.V., Vohmentsev S.A. Structure and Phase Composition of V—Al—N—C Master Alloy // Theoretical and Practical Conference with International Participation and School for Young Scientists “FERROALLOYS: Development Prospects of Metallurgy and Machine Building Based on Completed Research and Development” (NIOKR-2018). Yekaterinburg, 2018 // KnE Materials Science. 2019. P. 118–125.  
<https://doi.org/10.18502/kms.v5i1.3958>
16. Лякишев Н.П., Плинер Ю.Л., Игнатенко Г.Ф., Лаппо С.И. Алюминотермия. М.: Металлургия, 1978. 424 с.
17. Ларионов А.В. Физико-химическое обоснование применения нитрида алюминия при выплавке ванадийсодержащих азотированных лигатур для титановых сплавов: дис. ... канд. техн. наук. Екатеринбург: ИМЕТ УрО РАН, 2016. 121 с.
18. Чумарев В.М., Марьевич В.П., Ларионов А.В., Дубровский А.Я. Взаимодействие  $V_2O_5$ ,  $Nb_2O_5$  и  $Ta_2O_5$  с AlN // Неорган. материалы. 2011. Т. 47. № 3. С. 317–322.
19. Roine A. Outokumpu HSC Chemistry for Windows. Chemical Reactions and Equilibrium Software with Extensive Thermochemical Database. Pori: Outokumpu Research OY, 2002.
20. Удоева Л.Ю., Чумарев В.М., Ларионов А.В., Рылов А.М., Трубачев М.В. Моделирование алюминотермической выплавки сплавов Mo—Ti—Al и Mo—Ti—V—Cr—Al // Металлы. 2013. № 2. С. 12–19.
21. База данных ICDD PDF2 № 01-077-2131.
22. Prytz O., Flage-Larsen E., Gu L. Charge-Ordered Spinel  $AlV_2O_4$ : High-Energy-Resolution EELS and Computational Studies // Phys. Rev. B: Condens. Matter. 2012. V. 85. № 19.  
<https://doi.org/10.1103/PhysRevB.85.195112>
23. Kalavathi S., Amirthapandian S., Chandra S. et al. Valence State, Hybridization and Electronic Band Structure in the Charge Ordered // J. Phys.: Condens. Matter. 2014. V. 26. № 1.  
<https://doi.org/10.1088/0953-8984/26/1/015601>
24. Елютин В.П., Павлов Ю.А. Высокотемпературные материалы М.: Металлургия, 1972. 264 с.
25. База данных ICDD PDF2 № 01-071-6420; № 01-077-2173; № 03-065-2896; № 03-065-4054; № 03-065-9475.
26. База данных ICDD PDF2 № 01-071-1139.
27. База данных ICDD PDF2 № 00-025-1252.
28. Carlson O.N., Smith J.F., Nafziger R.H. The Vanadium-Nitrogen System: a Review // Metall. Mater. Trans. A. 1986. V. 17. № 10. P. 1647–1656.  
<https://doi.org/10.1007/BF02817263>
29. Ефимов А.И., Белорукова Л.П., Василькова И.В., Чечев В.П. Свойства неорганических соединений. Л.: Химия, 1983. 392 с.